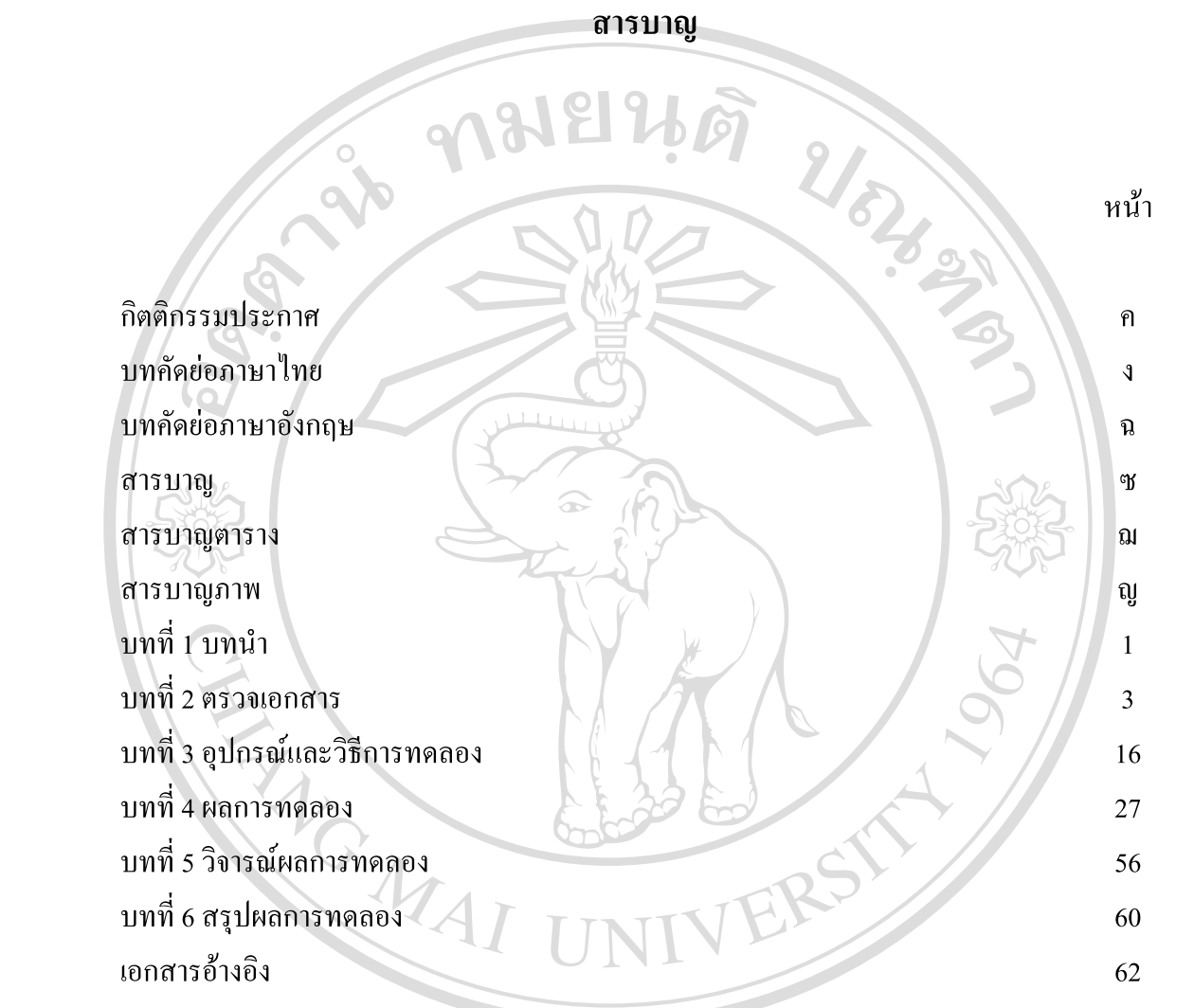


|   |      |
|---|------|
| สารบัญ  | หน้า |
|  |      |
| กิตติกรรมประกาศ   | ค ๑  |
| บทคัดย่อภาษาไทย   | ๒    |
| บทคัดย่อภาษาอังกฤษ  | ๓    |
| สารบัญ  | ๔    |
| สารบัญตาราง   | ๕    |
| สารบัญภาพ   | ๖    |
| บทที่ ๑ บทนำ  | ๗    |
| บทที่ ๒ ตรวจสอบสาร  | ๘    |
| บทที่ ๓ อุปกรณ์และวิธีการทดลอง  | ๑๖   |
| บทที่ ๔ ผลการทดลอง  | ๒๗   |
| บทที่ ๕ วิจารณ์ผลการทดลอง   | ๕๖   |
| บทที่ ๖ สรุปผลการทดลอง  | ๖๐   |
| เอกสารอ้างอิง   | ๖๒   |
| ภาคผนวก   | ๖๗   |
| ภาคผนวก ก   | ๖๘   |
| ภาคผนวก ข   | ๗๐   |
| ประวัติผู้เขียน   | ๗๓   |

**อิชลีรัตนหาวิทยาลัยเชียงใหม่**

Copyright © by Chiang Mai University  
All rights reserved

## สารบัญตาราง

ตาราง

หน้า

|   |    |
|---|----|
| 1 พื้นที่เพาะปลูก และผลผลิตรวมของการแพร่ร้ายก้าวที่มีการปลูกในจังหวัดต่างๆ ของประเทศไทย ในปี พ.ศ. 2552  | 4  |
| 2 differential clones และการจำแนกสายพันธุ์ของเชื้อราสนิมในการแพร่   | 11 |
| 3 ที่ตั้งแปลงปลูกกาแฟในพื้นที่ภาคเหนือที่ใช้ในการสำรวจ และประเมินโรคราสนิม  | 18 |
| 4 วิธีการประเมินผลความระดับความรุนแรงของโรคราสนิมในการแพร่โดยอาศัย การแสดงออกของลักษณะปฏิกิริยา   | 19 |
| 5 เปรียบเทียบการเกิดโรค และความรุนแรงของโรคราสนิมในการแพร่ภายใน แปลงปลูกกาแฟภาคเหนือ  | 31 |
| 6 ดัชนีความรุนแรงของโรค และเปอร์เซ็นต์การเกิดโรคราสนิมในการแพร่ภายใน แปลงปลูกกาแฟและร้ายก้าวที่เป็นระบบการปลูกกาแฟกลางแจ้ง เปรียบเทียบกับแปลงปลูกกาแฟร้ายก้าวที่เป็นระบบการปลูกภายใต้ร่มเงา | 47 |
| 7 ขนาดของ urediospore และ uredium ของเชื้อรา <i>Hemileia vastatrix</i> สาเหตุ ของโรคราสนิมในการแพร่   | 52 |

**ลิขสิทธิ์มหาวิทยาลัยเชียงใหม่**  
**Copyright<sup>©</sup> by Chiang Mai University**  
**All rights reserved**

## สารบัญภาพ

| ภาพ   | หน้า |
|---|------|
| 1 ลักษณะการเข้าทำลายและการเจริญของเชื้อรา <i>Hemileia vastatrix</i> ในกาแฟ  | 6    |
| 2 วงจรชีวิตของเชื้อรา <i>Hemileia vastatrix</i> (Agrios, 2005)  | 8    |
| 3 ลักษณะการเดินสำรวจป่าไม้และความรุนแรงโรคราสนิมในการกาแฟเป็นแนวเส้นที่แยกกัน   | 17   |
| 4 ระดับความรุนแรงของโรคราสนิมของการกาแฟโดยอาศัยการแสดงออกของลักษณะปฏิกิริยาของเชื้อราสนิมกับกาแฟ                                    | 20   |
| 5 แผนภาพแสดงบริเวณ 18S (small subunit), 5.8S, 28S (large subunit), ITS rDNA และตำแหน่งของไพรเมอร์ ITS1/ ITS4                        | 26   |
| 6 ลักษณะอาการของกาแฟที่ถูกเชื้อรา <i>Hemileia vastatrix</i> เข้าทำลาย   | 28   |
| 7 ลักษณะพื้นที่เปล่งปลูกรากกาแฟราบก้าที่ถูกเชื้อรา <i>Hemileia vastatrix</i> เข้าทำลายระดับรุนแรง                                   | 28   |
| 8 สภาพพื้นที่ภายในเปล่งปลูกรากกาแฟราบก้าที่มีระบบการปลูกกาแฟเป็นระเบียบและเปล่งปลูกรากกาแฟราบก้าที่มีระบบการปลูกกาแฟไม่เป็นระเบียบ  | 30   |
| 9 ระดับเปอร์เซ็นต์ความรุนแรงของโรคราสนิมในการกาแฟ   | 33   |
| 10 ค่าดัชนีความรุนแรงของโรคราสนิมในการกาแฟ  | 33   |
| 11 สภาพการระบาดของโรคราสนิมในการกาแฟภายในเปล่งปลูกรากกาแฟราบก้า   | 34   |
| 12 สภาพพื้นที่ภายในเปล่งปลูกรากกาแฟราบก้าที่มีระบบการปลูกกาแฟแบบอาศัยร่มเงาและเปล่งปลูกรากกาแฟราบก้าที่มีระบบการปลูกกาแฟแบบกลางแจ้ง | 48   |
| 13 ลักษณะสัณฐานวิทยาของเชื้อรา <i>Hemileia vastatrix</i> ภายใต้กล้องจุลทรรศน์   | 49   |
| 14 ลักษณะ urediospore ของเชื้อรา <i>Hemileia vastatrix</i> สาเหตุของโรคราสนิมในการกาแฟ  | 50   |

## สารบัญภาพ (ต่อ)



**ลิขสิทธิ์มหาวิทยาลัยเชียงใหม่**  
**Copyright<sup>©</sup> by Chiang Mai University**  
**All rights reserved**